

УДК 621.9.06:628.5

С.А.ШАМШУРА, С.Н.ШЕВЦОВ, А.Н.ЧУКАРИН

МАТЕМАТИЧЕСКАЯ МОДЕЛЬ ШУМООБРАЗОВАНИЯ ВИБРОУДАРНОГО УПРОЧНЕНИЯ ЛОНЖЕРОНОВ ВЕРТОЛЕТОВ

Приведена математическая модель шумообразования стенда виброударного упрочнения лонжеронов вертолетов. Энергетическими методами рассчитываются скорости колебаний отдельных подсистем несущей системы в целом. Получены зависимости вводимой от рабочей среды вибромощности в стенки контейнеров, что существенно уточняет теорию расчета шума подобного оборудования.

Ключевые слова: шумообразование, виброударное упрочнение, лонжероны вертолетов.

Введение. Упрочнение внутренних и наружных поверхностей лонжеронов в условиях ОАО «Роствертол» производится на однокоординатных станках. При всех преимуществах этого оборудования с точки зрения технологии упрочнения оно имеет очень серьезный недостаток: создает чрезвычайно высокие уровни шума, на 30-33 дБ превышающие предельно допустимые значения. Для обоснования выбора варианта шумозащиты при проектировании подобного оборудования необходимо расчетным путем определить ожидаемые нормы шума.

Исследование. С акустической точки зрения каждый элемент вибростенда является конструкцией энергетически замкнутой, с небольшим коэффициентом потерь колебательной энергии. В качестве моделей источников шума для элементов вибростенда принята ограниченная пластина, для которой звуковая мощность определяется по формуле [1]:

$$L = 10 \lg \frac{\rho_0 c_0 S V_i^2}{10^{-12}}, \quad (1)$$

где ρ_0 и c_0 – плотность воздуха (кг/м^3) и скорость звука в воздухе (м/с); S – площадь пластины, м^2 ; V_i – скорости колебаний пластины на собственных модах, м/с .

Звуковая мощность оборудования как системы одновременно звучащих источников определяется по принципу энергетического суммирования и имеет вид:

$$L_w = 10 \lg \sqrt[4]{10^{0,1L_{w_k}} + 10^{0,1L_{w_p}}}, \quad (2)$$

где L_{w_k} – звуковая мощность, излучаемая контейнером, дБ; L_{w_p} – звуковая мощность, излучаемая рамой, дБ.

Определение звуковой мощности вибростенда сводится к расчету скоростей колебаний рамы и контейнеров на собственных формах колебаний. В такой постановке расчет вибраций элементов вибростенда на основе теории колебаний пластин – задача чрезвычайно сложная. Поэтому для практических расчетов виброскоростей элементов стенда использованы энергетические методы расчета, которые традиционно используются для акустических расчетов энергетически замкнутых систем. Их применение наи-

более оправдано для базовых деталей коробчатой формы, что и соответствует рассматриваемому оборудованию:

$$W + \sum_{i=1}^6 \alpha_{in} l_{in} q_i - \sum_{n=1}^6 \alpha_{ni} l_{ni} q_n - \delta_n S_n q_n = 0, \quad (3)$$

где W – вводимая в раму вибромощность, Вт; α_{in} и l_{ni} – коэффициенты передачи вибромощности между стенками рамы; q_n – коэффициент поглощения в соответствующем элементе вибростенда, 1/м; $q_{i,n}$ – потоки вибрационной мощности, Вт/м.

Для стальной конструкции коэффициенты поглощения и потоки вибрационной мощности (согласно работе [2]) приведены к виду:

$$\delta_n = 0,03 \eta_n^f \frac{f_n^{0,5}}{h_n}, \quad (4)$$

где η_n^f – частотно-зависимые коэффициенты потерь колебательной энергии; f_n – собственные частоты колебаний стенки, Гц; h_n – толщина стенки, м;

$$q_{i,n} = 200 \sqrt{h_{i,n} f_{i,n}} m_{0,i,n} V_{i,n}^2, \quad (5)$$

где $m_{0,i,n}$ – распределенная масса стенки, кг/м².

Коэффициенты передачи вибрационной мощности между элементами рамы определяются следующим образом [2]:

$$\alpha_{in} = \frac{\Psi(\mu_{in}) \tau_{in}}{\pi}. \quad (6)$$

Для Г-образного соединения пластин, что и соответствует конструкции вибростенда

$$\tau_{in} = 2 \left(\frac{5}{4} \mu_{in}^4 + \mu_{in}^5 \right)^{-2} \quad \text{при} \quad h_i \geq h_n \quad \tau_{in} = \frac{1}{2}, \quad h_i = h_n$$

$$\mu_{in} = \frac{h_n}{h_i}; \quad \mu_{ni} = \frac{h_i}{h_n}, \quad (7)$$

$$\text{при} \quad \mu_{in} < 1 \quad \Psi(\mu_{in}) = \frac{1}{3} \pi (1 + \mu_{in}) E \frac{1}{2} \sqrt{\mu_{in}} - \pi (1 - \mu_{in}) F \frac{1}{2} \sqrt{\mu_{in}},$$

$$\text{при} \quad \mu_{in} \geq 1 \quad \Psi(\mu_{in}) = \frac{1}{3} \pi (1 + \mu_{in}) E \frac{1}{2} \sqrt{\mu_{in}} + \pi (1 - \mu_{in}) F \frac{1}{2} \sqrt{\mu_{in}},$$

E и F – полные эллиптические интегралы, таблицы которых приведены в работе [2].

Поскольку возбуждение вибраций рамы создается вибраторами, то вводимая в основание рамы вибромощность задается согласно выражению

$$W = 0,0023 M a^2 n^3, \quad (8)$$

где M – приведенная масса вибратора, кг; a – амплитуда колебания, м; n – частота вращения вала вибратора, об/мин.

С учетом этих зависимостей система уравнений энергетического баланса рамы имеет вид:

$$5 + 10^{-5} Ma^2 n^3 \frac{\Psi \left(h_i h_n \right)^{2,5}}{\left(h_n^{2,5} + h_i^{2,5} \right)^2} \frac{h_n}{h_i} l_{in} \left(h_n f_i \right)^{0,5} m_{0_i} V_i^2 = \frac{6}{1} 18,8 \eta_n f_n S_n m_{0_n} V_n^2 + \frac{6}{1} \frac{\left(h_i h_n \right)^{2,5}}{\left(h_n^{2,5} + h_i^{2,5} \right)^2} \Psi \frac{h_i}{h_n} l_{in} \left(h_n f_n \right)^{0,5} m_{0_n} V_n^2 . \quad (9)$$

Из системы определяются скорости колебаний каждой стенки, а на их основе и уровни звуковой мощности. Аналогичным образом определяют скорости колебаний стенок контейнеров. Отличие их расчета от рамы заключается в задании вибрационной мощности. Мощность, вводимая в элементы корпуса контейнера, складывается из мощности, передаваемой от рамы (с учетом ослабления на ложементax), и мощности от воздействия рабочей среды. Кроме этого учитывается воздействие рабочей среды на боковые стенки и основание контейнеров. Формулу мощности, вводимой в корпус контейнеров, представим в виде [99]:

$$W_K = W \frac{V_e}{V_o} + W_{p.c} , \quad (10)$$

где V_o и V_e – виброскорости колебаний нижней и верхней пластин рамы, м/с; $W_{p.c}$ – вводимая в контейнер вибромощность от рабочей среды, Вт.

Внутри вибрационного контейнера выделена некоторая поверхность Ω , подвергающаяся воздействию частиц технологической среды. Это может быть как поверхность любой стенки контейнера, так и поверхность упрочняемой детали (для дальнейшего рассмотрения это не имеет значения). Площадь поверхности Ω обозначим S . Основной характеристикой виброакустической активности действия среды на данную поверхность является:

$$W = \left\langle F u^* \right\rangle_{\Omega, t_0} , \quad (11)$$

где F – сила воздействия; u^* – относительная скорость падения среды на движущуюся поверхность, индекс Ω при угловых скобках означает суммирование по всей поверхности Ω , а t_0 – достаточно малый промежуток времени, за который производится усреднение. Величина вводимой в поверхность Ω мощности W является функцией времени, которая, учитывая периодический характер вибрационного возбуждения среды и физический смысл мощности, должна быть также периодической и положительной.

Для определения величины W в соответствии с (11) рассмотрим схему, представленную на рис.1. Выделим на поверхности Ω бесконечно малый элемент площадью ds . Направим из центра площадки ds внутрь среды единичный вектор нормали n , который вместе с парным ему единичным касательным вектором τ образует локальный ортогональный репер, движущийся по заданному закону вместе с площадкой ds со скоростью U_b .

Пользуясь соотношением между тензором напряжений σ в среде и силой воздействия этой среды на ограничивающую поверхность

$$F = -\sigma \cdot n \cdot ds, \quad (12)$$

а также связью между скоростью U среды в неподвижной системе и скоростью u^* в локальной системе, движущейся вместе с репером (n, τ)

$$u^* = u - U_b,$$

получим

$$W = \langle F \cdot u^* \rangle_{\Omega} = - \langle ((\sigma \cdot n) \cdot (u - U_b)) \cdot ds \rangle_{\Omega}. \quad (13)$$

Величина, стоящая под знаком усреднения и являющаяся результатом скалярного умножения векторов силы и скорости, изменяется вдоль всей поверхности Ω , причем тензор σ и вектор u определяются динамикой среды, векторы n и U_b – геометрией и кинематикой границы.

Рассмотрим подробнее величину σ и способ ее определения по фазовой траектории гранулярной системы. Произведение суммы таких изменений импульса для всех частиц, столкнувшихся с выбранным сплайном за время моделирования t_m , на вектор n , отнесенное ко времени t_m и величине площадки ds , даст искомую величину тензора напряжений:

$$\sigma = \frac{m}{t_m \cdot ds} \sum_{N_{ev}(ds)} (\Delta u \otimes n). \quad (14)$$

В соотношении (14) величина $N_{ev}(ds)$ обозначает число столкновений частиц среды со сплайном ds . Пусть площадка ds имеет длину (вдоль которой расположены частицы одного слоя) b и ширину a (вдоль которой размещены слои, совершающие плоское движение).

Тогда ширина площадки может быть выражена через число слоев следующим соотношением:

$$a = \sigma \cdot \left[1 + (k - 1) \cdot \frac{\sqrt{3}}{2} \right] \underset{k \rightarrow \infty}{\approx} \sigma \cdot \sqrt{\frac{3}{4}} \cdot k. \quad (15)$$

Чтобы учесть вклад в величину напряжений движения k слоев необходимо умножить соотношение (21) на число слоев k . Коэффициент, стоящий перед знаком суммирования, будет равен:

$$\frac{m \cdot k}{t_m \cdot dS} = \frac{m \cdot k}{t_m \cdot a \cdot b} \approx \frac{m \cdot k}{t_m \cdot b \cdot \sigma \cdot k \cdot \sqrt{3/4}} = \sqrt{\frac{4}{3}} \cdot \frac{m}{t_m \cdot b \cdot \sigma}. \quad (16)$$

Отметим, что величина, даваемая соотношением (16), определяет тензор напряжений в любой системе координат, в том числе и движущейся, порожденной площадкой ds . Учтем при этом, что изменение импульса

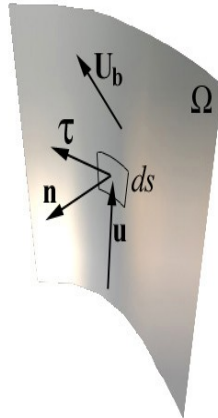


Рис. 1. Расчетная схема для определения интегральной мощности воздействия гранулированной среды на поверхность

каждой столкнувшейся с границей частицы также инвариантно относительно выбора системы отсчета:

$$\Delta u = v - u = (v - U_b) - (v - U_b) \quad v - u. \quad (17)$$

Тогда выражение

$$\sigma_n = \sqrt{\frac{4}{3}} \cdot \frac{m}{t_m \cdot b \cdot \sigma} \cdot \sum_{N_{ev}(ds)} (\Delta u \cdot n), \quad (18)$$

вычисляемое в этой новой системе координат, выделяет нормальную составляющую напряжений. Дуальное ему выражение

$$\sigma_\tau = \sqrt{\frac{4}{3}} \cdot \frac{m}{t_m \cdot b \cdot \sigma} \cdot \sum_{N_{ev}(ds)} (\Delta u \cdot \tau) \quad (19)$$

дает величину касательных напряжений. Это позволяет преобразовать выражение (17) следующим образом:

$$W = - \sqrt{\frac{4}{3}} \frac{m S}{t_m \sigma b} \left\langle_{N_{ev}(ds)} (v - u) (u - U_b) \right\rangle_{\Omega}, \quad (20)$$

причем индекс Ω имеет смысл суммирования по всем прямолинейным сплайнам модельной поверхности.

Оценим удельную мощность ($S = 1 \text{ м}^2$), вводимую в граничную поверхность при синфазных нормальных ударах с частотой 15 Гц одного слоя, размещенных без зазора стальных шариков диаметром 5 мм. Для этого предположим, что длина сплайна равна половине диаметра шарика $b = d/2$, следовательно, за один период сплайн границы в среднем за период получает 1/2 удара. Положим также, что граница покоится ($U_b = 0$), коэффициент упругого восстановления равен R , удары наносятся с частотой f , и за один период слой шаров наносит по поверхности только один удар. В условиях этих предположений получим выражение удельной мощности:

$$W = 0,6 \rho_c d f (1 + R) u^2, \quad (21)$$

где ρ_c – плотность среды, кг/м³; f – частота вибрации, Гц.

В соответствии с технологической инструкцией упрочняющая обработка изделия производится в 4 перехода по схеме, приведенной на рис.2.

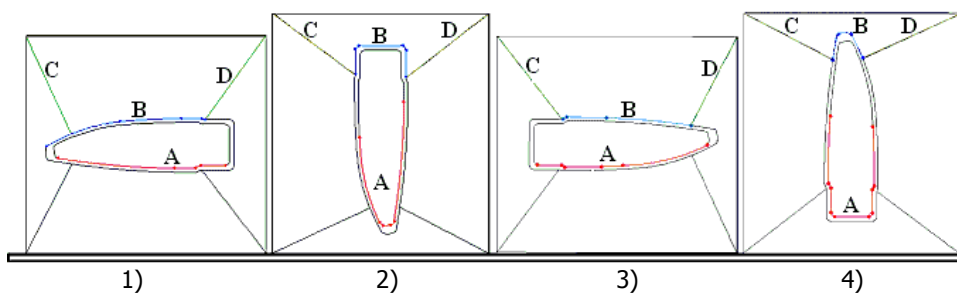


Рис.2. Схема обработки лонжерона (в порядке следования 1, 2, 3, 4): буквами обозначены поверхности, подвергающиеся воздействию рабочей среды

Закон движения контейнера с деталью отвечал режимам работы реального технологического оборудования: амплитуда вертикальных колебаний 6 мм, частота 15 Гц. Имитационное моделирование программным комплексом GranMoS производилось с шагом по времени 5-10 мкс до достижения реального времени – одна секунда, т.е. полных 15 периодов колебаний.

Вычисляемым энергетическим параметром была удельная мощность, вводимая средой в границу, т.е. мощность, приложенная к 1 кв.м. площади поверхности стенки. Для определения средней удельной мощности на поверхности стенки ее мгновенное распределение численно интегрировали по всей длине куска стенки:

$$N(t) = \frac{1}{\Delta L} \int \sigma(\mathbf{r}, t) dl . \quad (22)$$

Распределения удельных мощностей были построены для поверхностей, подвергающихся воздействию среды стальных шариков. По этим распределениям были вычислены средние за период удельные мощности, а умножение последних на площади соответствующих поверхностей дало полные мощности, характеризующие акустическую активность обрабатываемой среды. Результаты приведены в таблице.

Средние мощности воздействия технологической рабочей среды на стенки контейнера и обрабатываемого лонжерона

Схема (рис.2)	Поверхность (рис.2)	Площадь, м ²	Мощность воздействия среды	
			средняя удельная, Вт/м ²	средняя полная, кВт
№1	A(внутр.лонж)	1,6	740	1,18
	B(наруж.лонж)	1,58	610	0,96
	C(контейнер)	1,06	111	0,12
	D(контейнер)	1,06	68	0,072
№2	A(внутр.лонж)	2,1	465	0,98
	B(наруж.лонж)	0,8	1260	1
	C(контейнер)	1,06	1220	1,29
	D(контейнер)	1,06	1180	1,25
№3	A(внутр.лонж)	1,65	740	1,22
	B(наруж.лонж)	1,57	1000	1,570
	C(контейнер)	1,06	133	0,14
	D(контейнер)	1,06	108	0,11
№4	A(внутр.лонж)	1,4	510	0,71
	B(наруж.лонж)	0,62	1350	0,840
	C(контейнер)	1,06	980	1,04
	D(контейнер)	1,06	1030	1,09

Выводы. Зависимости мгновенной удельной мощности от времени показывают, что взаимодействие среды со стенками детали и контейнера носит импульсный характер, продолжаясь около половины периода колебаний. Такой характер изменения мощности должен приводить к генерации широкополосного спектра шума.

Приведенные зависимости позволяют определить уровни шума данного типа оборудования и учитывают компоновку стенда, технологические режимы работы. Для выполнения расчетов ожидаемых уровней шума при

проектировании подобных технологических процессов и оборудования, на котором они будут выполняться, необходимо определить вводимую в корпус контейнеров вибромощность со стороны рабочей среды.

Библиографический список

1. Иванов Н.И. Основы виброакустики / Н.И. Иванов, А.С. Никифоров. – СПб.: Политехника, 2000. – 482 с.
2. Никифоров А.С. Акустическое проектирование судовых конструкций / А.С. Никифоров. – Л.: Судостроение, 1990. – 200 с.
3. Слюсарь Б.Н. Оценка воздействия технологической среды на вибрацию корпуса контейнеров при виброударном упрочнении лонжеронов / Б.Н.Слюсарь, С.А.Шамшура, С.Н.Шевцов // Проектирование технологического оборудования: межвуз. сб. науч. тр. – Ростов н/Д: ТОО ДПО ИУИ АП, 2003.– С. 85-96.

Материал поступил в редакцию 05.05.09.

S.A.SHAMSHURA, S.N. SHEVTSOV, A.N. CHUKARIN

MATHEMATICAL MODEL OF FORMATION OF NOISE OF VIBRO-SHOCK HARDENING OF LONGERONS OF HELICOPTERS

In article the mathematical model of formation of noise of the stand of vibro-shock hardening of longerons of helicopters is resulted. Power methods speeds of fluctuations of separate subsystems and bearing system as a whole pay off. Dependences of vibrating capacity entered from a working environment in walls of containers are received that essentially specifies the theory of calculation of noise of the similar equipment.

ШАМШУРА Сергей Александрович (р.1977), доцент кафедры «Вертолетостроение» института управления и инноваций авиационной промышленности, кандидат технических наук (2006). Окончил Ростовский-на-Дону государственный университет путей сообщения (1999), а также механико-математический факультет Ростовского-на-Дону государственного университета (2000).

Область научных интересов: виброакустическая динамика технологического оборудования.

Имеет 20 научных публикаций.

ШЕВЦОВ Сергей Николаевич (р.1949), заведующий лабораторией «Машиностроение» ЮНЦ РАН, профессор кафедры «Авиастроение» ДГТУ, доктор технических наук (2000). Окончил Ростовский-на-Дону государственный университет (1974).

Область научных интересов: компьютерное моделирование динамических систем; механические колебания; механика гранулярных материалов.

Автор 200 научных работ.

ЧУКАРИН Александр Николаевич (р.1950), заведующий кафедрой «Технологическое оборудование» ДГТУ, доктор технических наук (1996), профессор. Окончил РИСХМ (1972).

Область научных интересов – виброакустическая динамика технологического оборудования.

Опубликовано около 140 научных работ.

aeroengdstu@lest.ru